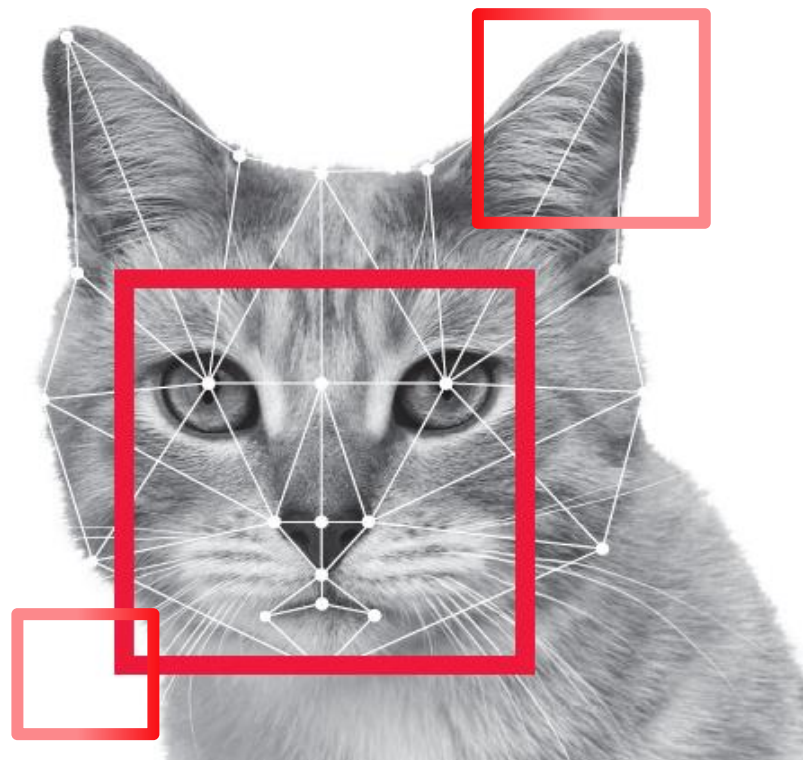


# COMPUTER VISION 컴퓨터 비전

기본 개념부터 최신 모바일 응용 예까지



7장. 매칭

# PREVIEW

## ■ 매칭

- 어떤 대상을 다른 것과 비교하여 같은 것인지 알아내는 과정
- 둘 사이의 유사성 또는 거리를 측정해서 비교
- 여러 가지 문제를 해결하는 열쇠 (물체 인식, 자세 추정, 스테레오, 증강 현실 등)

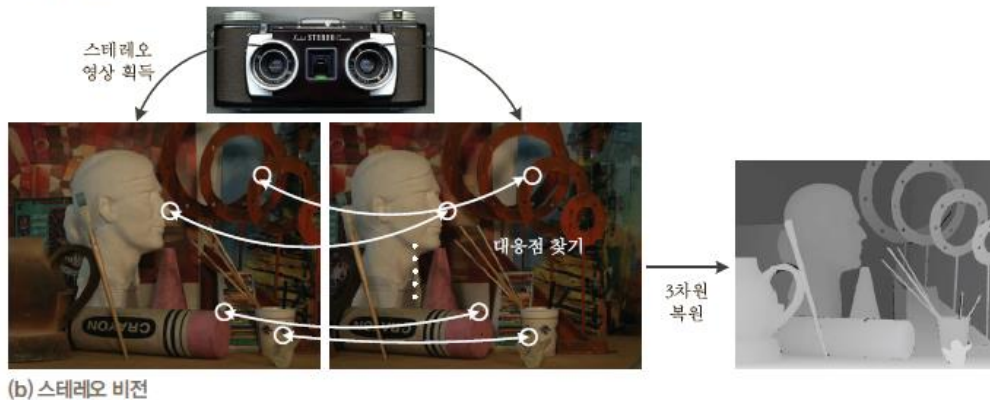


그림 7-1 매칭을 이용한 응용 문제 해결

## ■ 생각해 볼 점

- 거짓 긍정을 어떻게 찾아 배제할 것인가?
- 매칭 속도
  - 두 영상의 특징점 개수가  $m$  과  $n$  이고 특징 벡터의 차원이  $d$  라면,  
두 영상을 매칭하는데  $\Theta(mnd)$  시간 소요
  - 미리 인덱싱 해두면 실시간 처리가 가능할까?

# 각 절에서 다루는 내용

## 1. 매칭의 기초

→ 매칭에 사용하는 거리 척도와 매칭 전략, 성능을 분석하는 척도

## 2. 빠른 최근접 이웃 탐색

→ 매칭 속도를 올릴 수 있는 방법 : kd 트리와 해싱

## 3. 기하 정렬과 변환 추정

→ 신뢰도가 높은 매칭 쌍을 고르는 방법

## 4. 웹과 모바일 응용

→ 매칭을 활용한 파노라마, 사진 관광 응용 사례

## 7.1 매칭의 기초

---

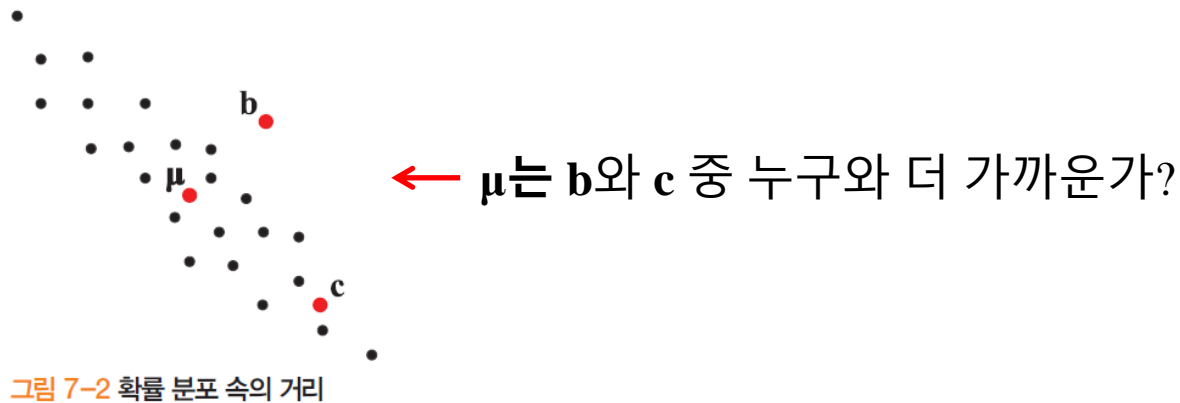
### 7.1.1 거리 척도

- 유클리디안 거리 vs. 마할라노비스 거리

### 7.1.2 매칭 전략과 성능 분석

## 7.1.1 거리 척도

- 유클리디안 거리(euclidian distance) vs. 마할라노비스 거리(mahalanobis distance)



- 유클리디안 거리

$$d_E(\mathbf{a}, \mathbf{b}) = \|\mathbf{a} - \mathbf{b}\| = \sqrt{\sum_{i=1}^d (a_i - b_i)^2} \quad (7.1)$$

- 마할라노비스 거리 : 공분산 행렬  $\Sigma$ 를 이용하여 확률 분포를 고려 (**c**가 더 가깝다.)

$$\text{점 } \mathbf{a} \text{와 } N(\boldsymbol{\mu}, \Sigma) \text{ 사이의 마할라노비스 거리 } d_M(\mathbf{a}) = \sqrt{(\mathbf{a} - \boldsymbol{\mu})^T \Sigma^{-1} (\mathbf{a} - \boldsymbol{\mu})} \quad (7.2)$$

$$\text{두 점 } \mathbf{a} \text{와 } \mathbf{b} \text{ 사이의 마할라노비스 거리 } d_M(\mathbf{a}, \mathbf{b}) = \sqrt{(\mathbf{a} - \mathbf{b})^T \Sigma^{-1} (\mathbf{a} - \mathbf{b})} \quad (7.3)$$

## 7.1.1 거리 척도

### 예제 7-1 마할라노비스 거리

[그림 7-3]은 네 개의 점  $\{(2,1), (1,3), (2,5), (3,3)\}$ 이 확률 분포를 이루는 간단한 상황이다. 먼저 이 분포를 무시하고 유클리디안 거리를 계산하면  $d_E(\mu, b) = 2$ ,  $d_E(\mu, c) = 3$ 이므로  $b$ 가  $c$ 보다  $\mu$ 에 더 가깝다.

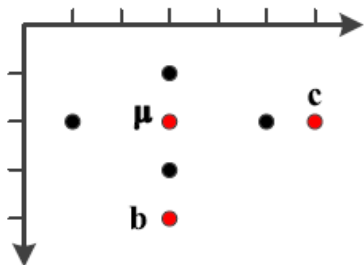


그림 7-3 마할라노비스 거리 예제

이제 확률 분포를 고려한 거리를 계산해 보자. 이 분포의 평균은  $\mu = (2,3)$ 이고 공분산 행렬은  $\Sigma = \begin{pmatrix} 0.5 & 0 \\ 0 & 2 \end{pmatrix}$ 이다.  $\Sigma$ 의 역행렬을 구하면,  $\Sigma^{-1} = \begin{pmatrix} 2 & 0 \\ 0 & 0.5 \end{pmatrix}$ 이다. 이들을 이용하여 두 점  $b$ 와  $c$ 에서 이 가우시안 분포까지의 거리를 계산하면 다음과 같다.  $b$ 와  $c$ 는 각각 분포까지의 거리가 2.8284와 2.1213이므로  $c$ 가  $b$ 보다 가우시안 분포에 더 가깝다.

$$b \text{와 가우시안 분포 사이의 마할라노비스 거리 } d_M(b) = \sqrt{(4-2 \quad 3-3) \begin{pmatrix} 2 & 0 \\ 0 & 0.5 \end{pmatrix} \begin{pmatrix} 4-2 \\ 3-3 \end{pmatrix}} = 2.8284$$

$$c \text{와 가우시안 분포 사이의 마할라노비스 거리 } d_M(c) = \sqrt{(2-2 \quad 6-3) \begin{pmatrix} 2 & 0 \\ 0 & 0.5 \end{pmatrix} \begin{pmatrix} 2-2 \\ 6-3 \end{pmatrix}} = 2.1213$$

이제 두 점  $b$ 와  $c$  사이의 유클리디안 거리와 마할라노비스 거리를 계산해 보자.

$$b \text{와 } c \text{ 사이의 유클리디안 거리 } d_E(b, c) = \sqrt{(4-2)^2 + (3-6)^2} = 3.6056$$

$$b \text{와 } c \text{ 사이의 마할라노비스 거리 } d_M(b, c) = \sqrt{(4-2 \quad 3-6) \begin{pmatrix} 2 & 0 \\ 0 & 0.5 \end{pmatrix} \begin{pmatrix} 4-2 \\ 3-6 \end{pmatrix}} = 3.5355$$

## 7.1.1 거리 척도

### ■ 화이트닝 변환(whitening transform)

- 공분산 행렬이 단위 행렬  $\mathbf{I}$ 가 되도록 벡터  $\mathbf{x}$ 를  $\mathbf{y}$ 로 변환  $\rightarrow \Sigma = \mathbf{I}$ 이면 두 거리 척도가 같음

$$\mathbf{y}^T = \Lambda^{-\frac{1}{2}} \Phi^T \mathbf{x}^T \quad (7.4)$$

#### 예제 7-2 화이트닝 변환

[예제 7-1]의 샘플을 재활용한다. 공분산 행렬  $\Sigma = \begin{pmatrix} 0.5 & 0 \\ 0 & 2 \end{pmatrix}$ 의 고유 벡터와 고유값을 계산하여,  $\Phi$ 와  $\Lambda$ 를 구성하면 다음과 같다.

두 개의 고유값과 고유 벡터: 0.5와 (1,0), 2.0과 (0,1)

$$\Phi = \begin{pmatrix} 1 & 0 \\ 0 & 1 \end{pmatrix}, \quad \Lambda = \begin{pmatrix} 0.5 & 0 \\ 0 & 2.0 \end{pmatrix}, \quad \Lambda^{-\frac{1}{2}} = \begin{pmatrix} 1.4142 & 0 \\ 0 & 0.7071 \end{pmatrix}$$
$$\Lambda^{-\frac{1}{2}} \Phi^T = \begin{pmatrix} 1.4142 & 0 \\ 0 & 0.7071 \end{pmatrix}$$

$\Lambda$  : 고유값 행렬

$\Phi$  : 고유벡터 행렬

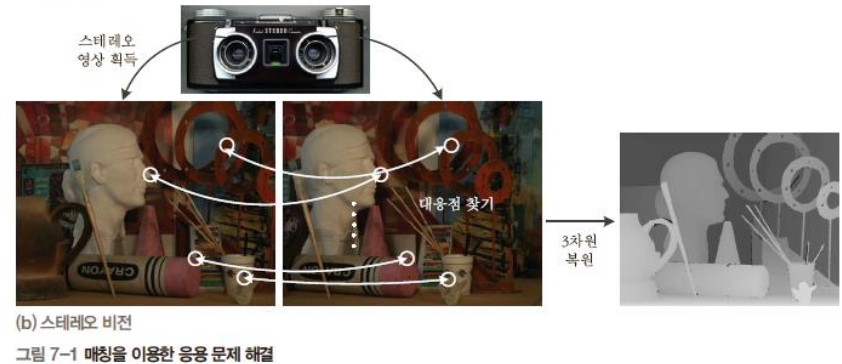
네 개의 샘플을 식 (7.4)로 변환하면 다음과 같다. 새로 얻은 네 점을 가지고 공분산 행렬을 구해 보면 단위 행렬  $\mathbf{I}$ 가 되어, 화이트닝 변환이 적용되었음을 확인할 수 있다.

$$\begin{pmatrix} 1.4142 & 0 \\ 0 & 0.7071 \end{pmatrix} \begin{pmatrix} 2 \\ 1 \end{pmatrix} = \begin{pmatrix} 2.8284 \\ 0.7071 \end{pmatrix}, \quad \begin{pmatrix} 1.4142 & 0 \\ 0 & 0.7071 \end{pmatrix} \begin{pmatrix} 1 \\ 3 \end{pmatrix} = \begin{pmatrix} 1.4142 \\ 2.1213 \end{pmatrix},$$
$$\begin{pmatrix} 1.4142 & 0 \\ 0 & 0.7071 \end{pmatrix} \begin{pmatrix} 2 \\ 5 \end{pmatrix} = \begin{pmatrix} 2.8284 \\ 3.5355 \end{pmatrix}, \quad \begin{pmatrix} 1.4142 & 0 \\ 0 & 0.7071 \end{pmatrix} \begin{pmatrix} 3 \\ 3 \end{pmatrix} = \begin{pmatrix} 4.2426 \\ 2.1213 \end{pmatrix}$$

## 7.1.2 매칭 전략과 성능 분석

### ■ 매칭을 활용하는 여러 가지 상황

- 파노라마 영상 제작
  - 두 영상이 동등한 입장에서 참여
- 물체 인식 또는 증강 현실
  - 모델 영상은 깨끗한 배경 위에 물체가 놓임
  - 장면 영상은 심한 혼재와 가림이 발생



### ■ 단순한 매칭 전략

- 두 영상의 특징 벡터를  $\mathbf{a}_i$  ( $i=1,2,\dots,m$ )와  $\mathbf{b}_j$  ( $j=1,2,\dots,n$ )라 표기할 때,  
식 (7.5)를 만족하면 매칭 성공

$$d(\mathbf{a}_i, \mathbf{b}_j) < T \quad (7.5)$$



## 7.1.2 매칭 전략과 성능 분석

### ■ ROC(Receiver Operating Characteristic) 곡선을 이용한 성능 분석

- if) 낮은  $T \rightarrow$  큰  $FN$  (거짓 부정, 맞는 데 다르다고 판정)  $\rightarrow$  낮은 참 긍정률

낮은  $T \rightarrow$  낮은  $FP$  (거짓 긍정, 다른 데 맞다고 판정)  $\rightarrow$  낮은 거짓 긍정률

- if) 높은  $T \rightarrow$  높은 참 긍정률, 높은 거짓 긍정률

$$\text{참 긍정률 } TPR = \frac{TP}{(TP + FN)}$$

$$\text{거짓 긍정률 } FPR = \frac{FP}{(FP + TN)}$$

- $T$  를 점점 키우면서 측정한 거짓 긍정률과 참 긍정률을 나타낸 그래프가 ROC
- 왼쪽 위 구석에 가까울수록 좋은 성능
- 성능 지표 : AUC (Area Under Curve, 곡선 아래 면적)

표 1-1 부류가 두 개인 경우의 혼동 행렬

참 부류 \ 분류 결과	분류 결과	
	$\omega_1$	$\omega_2$
$\omega_1$	$n_{11}(TP)$	$n_{12}(FN)$
$\omega_2$	$n_{21}(FP)$	$n_{22}(TN)$

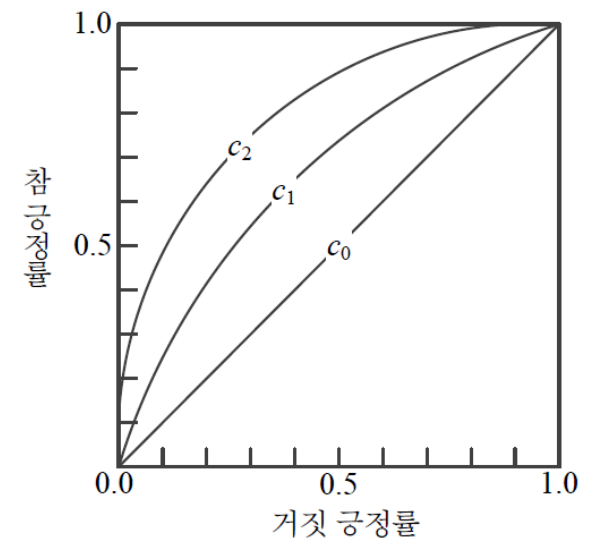


그림 7-4 ROC 성능 분석

## 7.1.2 매칭 전략과 성능 분석

### ■ 또 다른 매칭 전략

#### ■ 최근접 이웃 전략

- $\mathbf{a}_i$ 의 최근접 이웃  $\mathbf{b}_j$ 가  $d(\mathbf{a}_i, \mathbf{b}_j) < T$ 를 만족하면 매칭 성공

#### ■ 최근접 거리 비율 전략

- 최근접  $\mathbf{b}_j$ 와 두 번째 최근접  $\mathbf{b}_k$ 가 식 (7.7)을 만족하면 매칭 성공

$$\frac{d(\mathbf{a}_i, \mathbf{b}_j)}{d(\mathbf{a}_i, \mathbf{b}_k)} < T \quad (7.7)$$

애가 재보다 월등히 작아야 함

- 실험에 따르면 이 전략이 가장 높은 성능 (예, SIFT [Lowe2004])

## 7.2 빠른 최근접 이웃 탐색

---

### 7.2.1 $kd$ 트리

### 7.2.2 해싱

## 7.2 빠른 최근접 이웃 탐색

### ■ 순진한 알고리즘

- 모든 쌍을 일일이 검사 → 시간이 넉넉한 상황에서만 활용 가능

### ■ 특징 벡터를 미리 인덱싱해 두는 효율적인 알고리즘

- 두 알고리즘: [kd 트리](#)와 [위치의존 해싱](#)
- 일반적인 탐색 기법으로 데이터마이닝, 빅데이터, 생물 정보학 등에서도 활용

## 7.2.1 kd 트리

### ■ 이진검색 트리 (BST, binary search tree)

- 루트를 기준으로 왼쪽 부분 트리는 루트보다 작은 값, 오른쪽은 큰 값을 갖는 이진 트리  
(이 성질이 부분 트리에 재귀적으로 반복 적용)

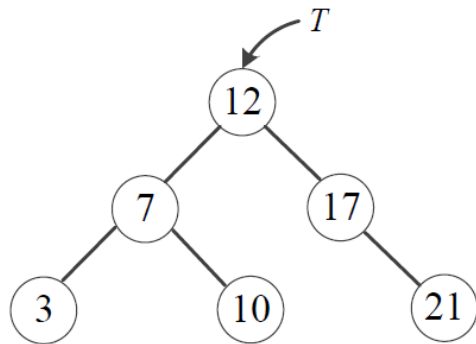


그림 7-5 이진검색 트리

균형이 잡힌 경우  
탐색시간  $O(\log n)$

### ■ BST를 적용할 수 있나?

- 검색 키(특징 벡터)가 여러 개의 실수로 구성된 벡터임
- 동일한 값을 갖는 노드를 찾는 것이 아니라, 최근접 이웃을 찾는

### ■ BST를 그대로 적용 불가능 → kd 트리

- 두 가지 다른 점을 수용할 수 있게 BST를 확장한 기법 [Bently75]

## 7.2.1 kd 트리

### ■ 표기

- $n$ 개의 벡터를 가지고 kd 트리 구축  $X = \{\mathbf{x}_1, \mathbf{x}_2, \dots, \mathbf{x}_n\}$
- $\mathbf{x}_i$ 는  $d$ 차원 벡터

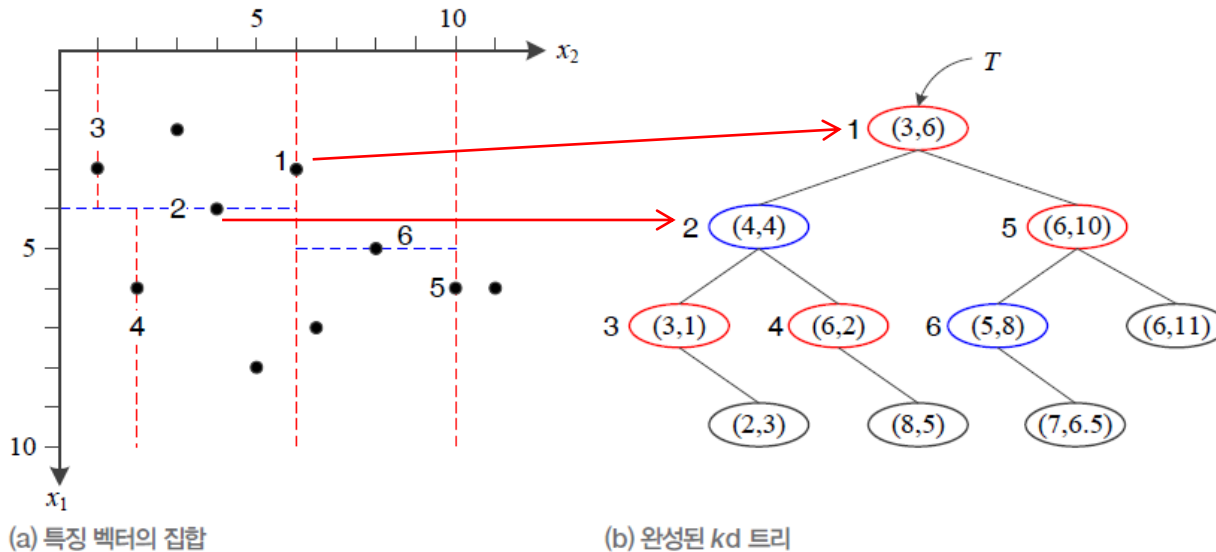
### ■ kd 트리의 원리

- 루트 노드는  $X$ 를 두 개의 부분 집합  $X_{left}$ 와  $X_{right}$  나눔
- 이때 분할 기준을 어떻게 선택하나?
  - $d$ 개의 차원(축) 중에 어느 것을 쓸 것인가?
    - 분할 효과를 극대화하려면 각 차원의 분산을 계산한 후, 최대 분산을 갖는 축  $k$ 를 선택
  - 축을 선택했다면  $n$ 개의 샘플 중 어느 것을 기준으로  $X$ 를 분할할 것인가?
    - $X_{left}$ 와  $X_{right}$ 의 크기를 갖게 하여 균형 잡힌 트리를 만들어야 함.
    - $X$ 를 차원  $k$ 로 정렬하고, 그 결과의 중앙 값을 분할 기준으로 삼는다.
- $X$ 를  $X_{left}$ 와  $X_{right}$ 로 분할한 후, 각각에 같은 과정을 재귀적으로 반복하면 kd트리 완성

## 7.2.1 kd 트리

### 예제 7-3 kd 트리 만들기

설명을 쉽게 하기 위해  $d=2$ 로 한정하고,  $X=\{x_1=(3,1), x_2=(2,3), x_3=(6,2), x_4=(4,4), x_5=(3,6), x_6=(8,5), x_7=(7,6.5), x_8=(5,8), x_9=(6,10), x_{10}=(6,11)\}$ 이라 하자. [그림 7-6(a)]는 주어진 특징 벡터의 집합을 보여준다.



(a) 특징 벡터의 집합

(b) 완성된 kd 트리

그림 7-6 kd 트리

먼저, 루트 노드로 결정할 만한 분할 기준을 찾아보자. 두 개의 차원은 각각 3, 2, 6, 4, ..., 6과 1, 3, 2, 4, ..., 11의 값을 가진다. 이들의 분산을 구해 보면 두 번째가 더 크다. 따라서 [알고리즘 7-4]의 11행에서  $k$ 는 2가 된다. 두 번째 차원을 기준으로  $X$ 를 정렬하면  $X_{sorted}=\{x_1, x_3, x_2, x_4, x_6, x_5, x_7, x_8, x_9, x_{10}\}$ 이 된다. 이 리스트의 중앙값  $x_5$ 를 기준으로 좌우를 분할하면,  $X_{left}=\{x_1, x_3, x_2, x_4, x_6\}$ ,  $X_{right}=\{x_7, x_8, x_9, x_{10}\}$ 이 된다. 이제 14~16행에서 노드를 하나 할당받아 값을 채운다. 이렇게 만들어진 노드가 [그림 7-6]에서  $T$ 가 가리키는 루트 노드이다.

이 루트 노드의 물리적인 의미를 해석해 보자. [그림 7-6(a)]에서 1 옆의 빨간색 선이 이 노드의 역할을 보여준다. 이 노드는  $k=2$ 에 해당하는  $x_2$ 축을 기준으로 공간을 둘로 분할한다. 이때 왼쪽 영역에 있는 점들이  $X_{left}$ 가 되고 오른쪽 영역은  $X_{right}$ 가 된다. 이제  $X_{left}$ 와  $X_{right}$  각각에 같은 과정을 재귀적으로 반복하면 [그림 7-6(b)]와 같은 kd 트리가 완성된다. 그림에서는 기준이 되는 축을 쉽게 구분할 수 있도록 각각 다른 색으로 표시하였다.  $x_1$ 축이 기준이라면 파란색,  $x_2$ 축이 기준이라면 빨간색이다.

## 7.2.1 kd 트리

### ■ kd 트리에서 최근접 이웃 탐색

- 새로운 특징 벡터  $\mathbf{x}$ 가 입력되면  $\mathbf{x}$ 의 최근접 이웃을 어떻게 찾을까?
- 예)  $\mathbf{x} = (7, 5.5)$ 
  - 루트가  $x_2$ 축을 기준으로 하므로 5.5를 6과 비교하고 작으므로 왼쪽으로 분기
  - (4,4) 노드가  $x_1$ 축을 기준으로 하므로 7과 4를 비교하고 크므로 오른쪽으로 분기
  - 반복하면 (8,5) 노드에 도착

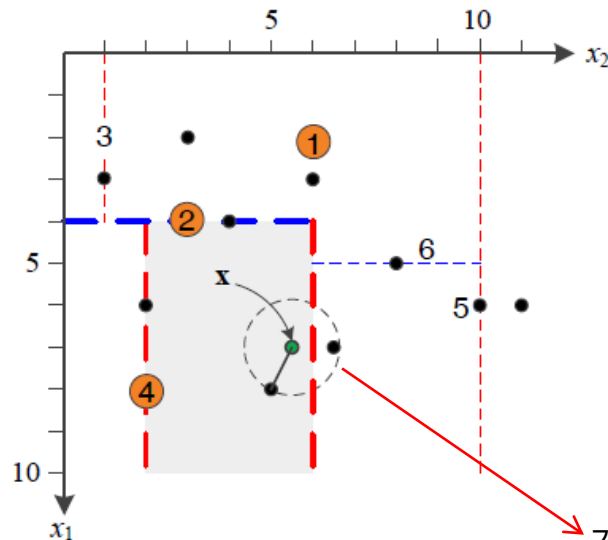
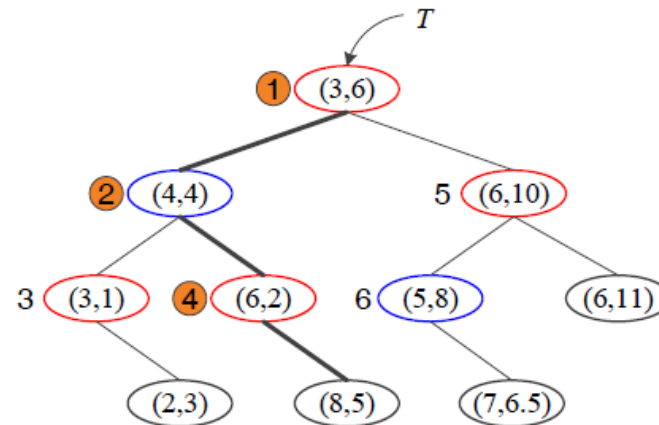


그림 7-7 kd 트리에서 검색하는 예



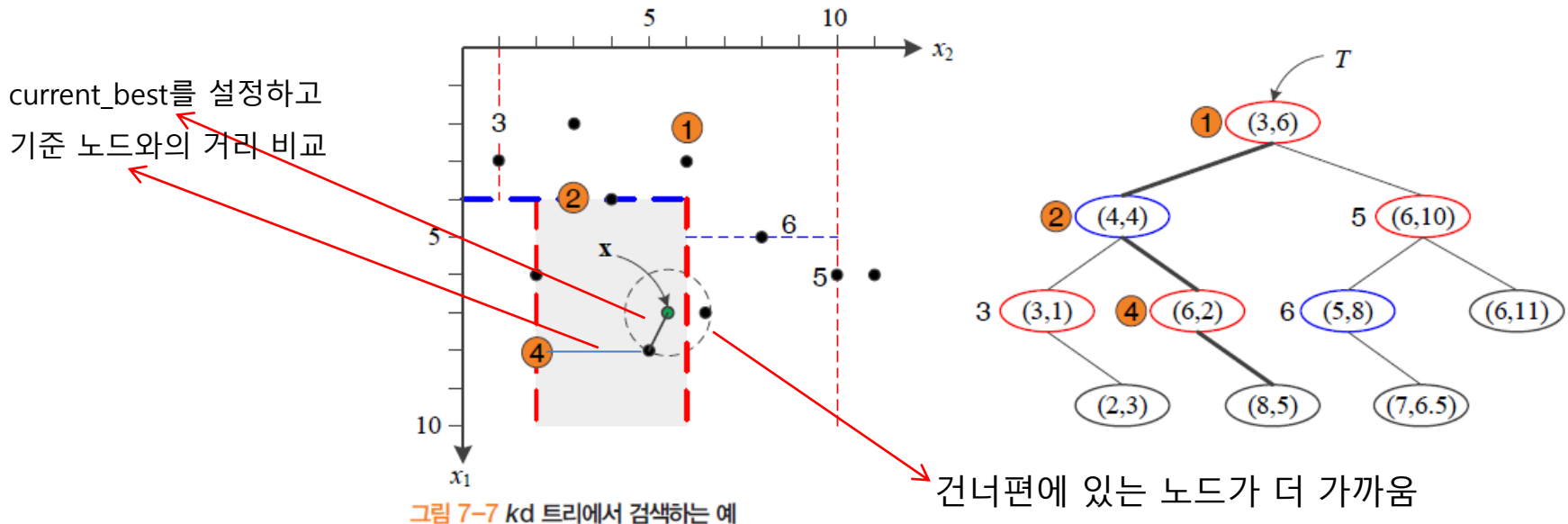
건너편에 있는 노드가 더 가까움



## 7.2.1 kd 트리

### ■ kd 트리를 이용한 최근접 이웃 탐색

- 리프 노드 (8,5)를 답으로 취하면 될까?
  - 최근접일 가능성이 있지만 반드시 그렇진 않다.
  - 분할 평면의 건너편에 더 가까운 노드가 있을 수 있음
- 스택을 이용한 백트래킹
  - 한정 분기(branch-and-bound)를 적용하면서 ④→②→① 순으로 처리



## 7.2.1 kd 트리

- 백트래킹때문에 속도 저하 발생
- $d > 10 \rightarrow$  모든 특징 벡터와 비교하는 단순한 알고리즘과 비슷한 낮은 속도
  - 어떻게 시간 효율을 회복할 수 있을까?
- 근사 최근접 이웃(approximate nearest neighbor) 탐색
  - 최적 칸 우선 탐색
    - 스택 대신 우선순위 큐(priority queue)인 힙(heap)을 사용
    - 거리를 우선순위로 사용하는데, 백트래킹할 때 가까운 것부터 조사하도록 해줌
    - 예) 그림 7-7에서, ①→④→② 순으로 처리
  - 미리 설정해 놓은 값 *try\_allowed*에 따라 조사 횟수를 제한함
    - 근사 최근접에서 멈춤 (최적칸 우선을 적용했기 때문에 최근접 찾을 확률 높음)
    - 대신 시간 효율 얻음
- 성능 : SIFT의 실험 예 [Lowe2004]
  - *try\_allowed* = 200으로 했을 때,  $n=100,000$ ,  $d=128$ 인 상황에서 최근접 95%, 근사 최근접 5%
  - 속도는 100배 빨라짐

## 7.2.2 해싱(hashing)

### ■ 해싱의 원리

- 임의의 길이의 입력 메시지를 고정된 길이의 출력값으로 압축시키는 함수
- **많은 메모리**를 사용하는 대신 계산 시간이 짧게 걸리는 검색 기법
- 해시 함수(hash function)는 키 값을 해시 테이블의 주소로 변환
- 테이블에 골고루 배치할수록 좋은 해시 함수
- 충돌(collision) 해결책 필요

해시 함수  $h(x)=x \bmod 13$

0	
1	27
2	
3	
4	147
5	
6	19
7	
8	8
9	
10	23
11	1311
12	

그림 7-8 해싱의 원리

## 7.2.2 해싱

### ■ 매칭에 적용

#### ■ 일반 해싱과 다른 점

- 키는 단일 값이 아니라 실수 여러 개로 구성된 특징 벡터  $\mathbf{x} = \{x_1, x_2, \dots, x_d\}$ 임
- 동일한 요소가 아니라 최근접 이웃을 찾음

#### ■ 가장 크게 다른 점 : 일반 해싱과 정반대 목표

- 일반 해싱은 데이터를 골고루 배치하는 반면, 매칭에서는 가까운 벡터들은 같은 통에 담길 확률이 높아야 함

→ 위치의존 해싱(locality-sensitive hashing)으로 해결

## 7.2.2 해싱

### ■ 위치의존 해싱 [Andoni2008]

- 하나의 해시 함수가 아니라, 해시 함수 집합  $H$ 에서 여러 개를 임의 선택하여 사용
- $H$ 에 속한 해시 함수  $h$ 가 식 (7.8)을 만족하면,  $H$ 는 위치의존적

임의의 두점  $\mathbf{a}$ 와  $\mathbf{b}$ 에 대해,

$$\|\mathbf{a} - \mathbf{b}\| \leq R \text{이면, } p(h(\mathbf{a}) = h(\mathbf{b})) \geq p_1 \text{이고} \quad (7.8)$$

$$\|\mathbf{a} - \mathbf{b}\| \geq cR \text{이면, } p(h(\mathbf{a}) = h(\mathbf{b})) \leq p_2 \text{이다.}$$

$$\text{이때 } c > 1, p_1 > p_2$$

- 위치의존의 의미는?

가까운 두 벡터는 같은 통에 담길 (해시 함수 값이 같을)  
확률이 크고, 먼 벡터는 같은 통에 담길 확률이 작음

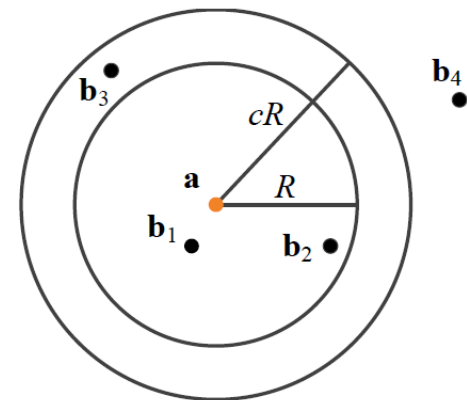


그림 7-9 조건식 (7.8)의 의미

## 7.2.2 해싱

### ■ $H$ 를 어떻게 만드나?

- 여러 가지 알고리즘 존재, 식 (7.9)는 그 중 하나
- 난수로  $\mathbf{r}$ 과  $b$ 를 설정하여 원하는 수만큼 함수 생성 가능

$$h(\mathbf{x}) = \left\lfloor \frac{\mathbf{r} \cdot \mathbf{x} + b}{w} \right\rfloor \quad (7.9)$$

### ■ 해시 함수 $h$ 의 동작

- $d$ 차원 공간을  $\mathbf{r}$ 에 수직인 초평면으로 분할
- $w$ 는 구간의 간격으로서, 작으면 촘촘하게 크면 듥성듬성 분할

## 7.2.2 해싱

### 예제 7-4 위치의존 해시 함수

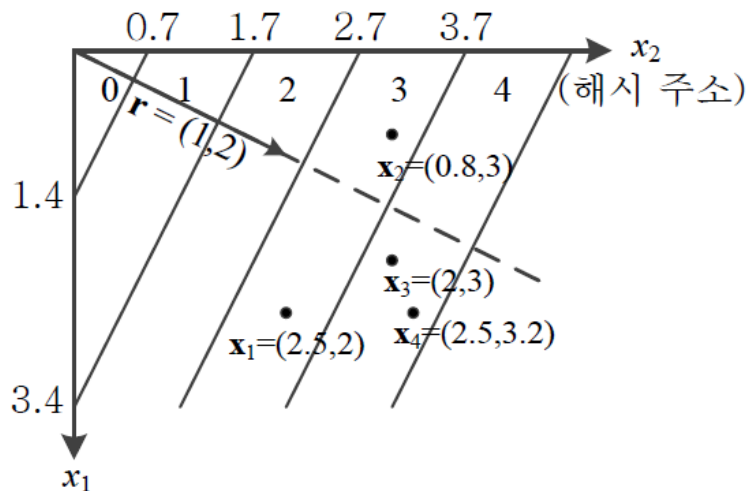
특징 벡터는  $\mathbf{x} = (x_1, x_2)$ 로 표현되는 2차원이라 가정한다.  $w$ 는 2로 설정되어 있고, 난수를 생성하여  $r = (1, 2)$ ,  $b = 0.6$ 을 얻었다고 하자. 식 (7.9)에 따른 해시 함수는 다음과 같다.

$$h(\mathbf{x}) = \left\lfloor \frac{x_1 + 2x_2 + 0.6}{2} \right\rfloor \quad \text{floor 함수}$$

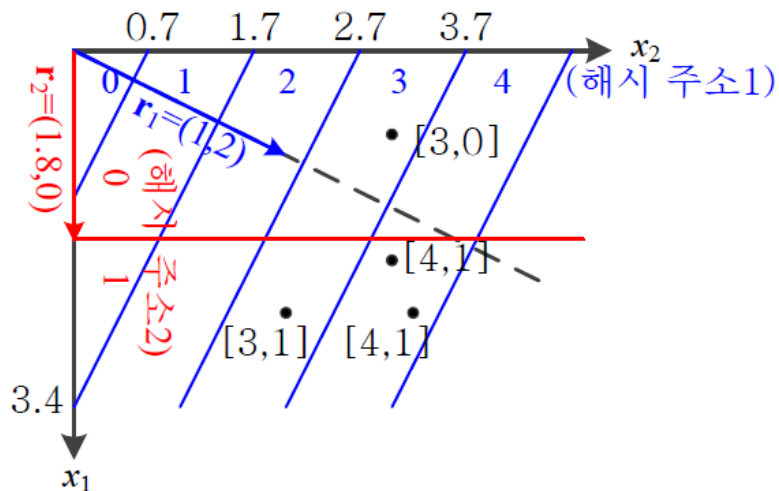
몇 개의 점을 대상으로 이 해시 함수가 특징 벡터를 어떤 주소로 매핑해 주는지 살펴보자. 해시 함수는 2차원 공간을 띠 모양의 영역으로 분할하는데, 원점에서 오른쪽으로 진행하며 0, 1, 2, ...라는 주소를 부여한다. [그림 7-10]은 네 개의 특징 벡터  $\mathbf{x}_1 = (2.5, 2)$ ,  $\mathbf{x}_2 = (0.8, 3)$ ,  $\mathbf{x}_3 = (2, 3)$ ,  $\mathbf{x}_4 = (2.5, 3.2)$ 가 어떤 영역으로 매핑되는지 보여준다. [그림 7-10(a)]를 보면 결과적으로 이들은 각각 주소가 3, 3, 4, 4인 통에 담긴다.

$$h(2.5, 2) = \left\lfloor \frac{7.1}{2} \right\rfloor = 3, \quad h(0.8, 3) = \left\lfloor \frac{7.4}{2} \right\rfloor = 3, \quad h(2, 3) = \left\lfloor \frac{8.6}{2} \right\rfloor = 4, \quad h(2.5, 3.2) = \left\lfloor \frac{9.5}{2} \right\rfloor = 4$$

## 7.2.2 해싱



(a) 해시 함수 한 개 사용



(b) 해시 함수 두 개 사용

그림 7-10 해시 함수의 공간 분할과 주소 매핑

이제 두 개의 해시 함수  $h_1$ 과  $h_2$ 를 사용하는 [그림 7-10(b)]로 관심을 옮겨 보자.  $h_1$ 은 이전과 같이  $r_1=(1, 2)$ ,  $b=0.6$ 으로 정의되고,  $h_2$ 는  $r_2=(1.8, 0)$ ,  $b=0$ 으로 정의한다고 하자. 이 상황에서는 값 두 개로 주소가 정해진다. 예를 들어 점  $x_1=(2.5, 2)$ 는 주소  $[3, 1]$ 을 가진다. 나머지 점의 주소도 계산해 보면, 그림에 표시된 주소를 갖는다. 이때 해시 함수를 두 개 사용한 효과를 관찰해 보자. 왼쪽 그림에서는  $x_1$ 과  $x_2$ 가 멀리 떨어져 있음에도 불구하고 주소3에 같이 담겨있다. 하지만 두 개의 해시 함수를 사용하는 오른쪽 그림에서는 이들이 각각  $[3, 1]$ 과  $[3, 0]$ 이라는 주소를 가져 다른 통에 담겨있는 것을 확인할 수 있다. 서로 가까운  $x_3$ 와  $x_4$ 는 여전히 같은 통  $[4, 1]$ 에 들어 있다.



## 7.2.2 해싱

- 위치의존을 만족하는 해시 함수 여러 개를 쓰면,
  - 가까운 벡터가 같은 통에 담길 확률이 충분히 높을까? → 그렇지 않다.
- 확률을 높이는 추가적인 방안
  - 해시 테이블을 여러 개 사용

해시 함수 6개를 한꺼번에 쓰면?

해시 함수 2개를 쓰는 해시 테이블 3개

- 두 벡터가 여러 테이블 중 하나에라도 같은 통에 있으면 매칭으로 분류

## 7.3 기하 정렬과 변환 추정

- 점 대 점의 매칭이 아니라 강체(rigid object)가 옮겨가는 것을 변환으로 설정하고, 변환식을 추정

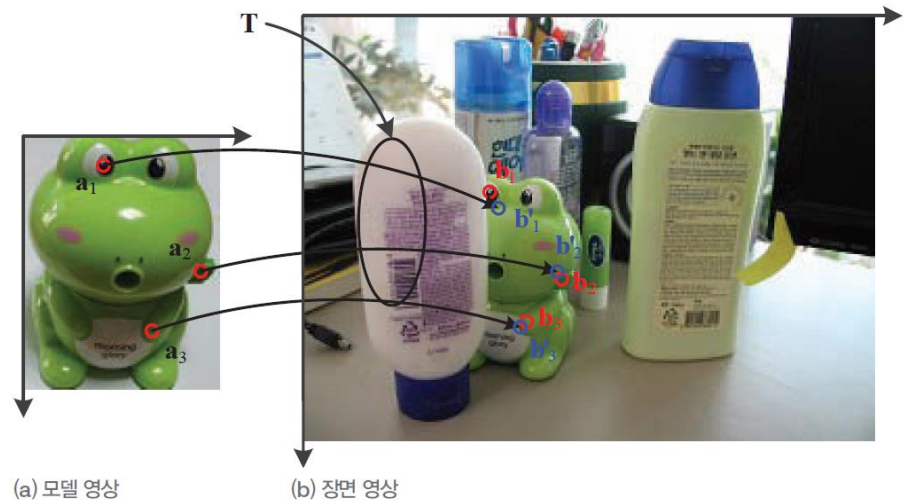


그림 7-13 최소제곱법으로 물체의 자세  $T$ 를 알아내는 사례

### 7.3.1 최소제곱법과 강인한 추정 기법

### 7.3.2 RANSAC

## 7.3 기하 정렬과 변환 추정

### ■ 지금까지(지역 정보만 사용)는,

- 특징 벡터로 개별적으로 매칭을 수행 → 아웃라이어 매칭 (거짓 긍정) 발생

→ 기하 정렬(geometrical alignment)을 이용하여 인라이어 집합을 찾아내고, 변환 행렬을 추정해야 함

### ■ 여러 상황

1. 사람이 개입하여 아웃라이어 없는 경우 : 항공 사진 비교, 의료 영상 정합 등
2. 아웃라이어 있는 경우 : 파노라마 영상 제작 등 (예, [Lowe2004]는 심한 혼재와 가림이 있는 경우 단지 1%만 인라이어인 상황 보고)



(a) 대응 쌍이 모두 옳음

(b) 거짓 긍정이 포함된 경우

그림 7-11 대응 쌍의 여러 가지 상황

## 7.3.1 최소제곱법과 강인한 추정 기법

### ■ 최소 제곱법(least square method)

- 오래 전부터 수학과 통계 분야에서 사용된 기법
- 예)  $\mathbf{X} = \{\mathbf{x}_1, \mathbf{x}_2, \mathbf{x}_3, \mathbf{x}_4\}$ 를 가장 잘 대표하는 직선을 찾아라.
  - 직관적으로  $l_1$ 이 더 좋음  $\rightarrow$  수학으로 어떻게 설명하나?

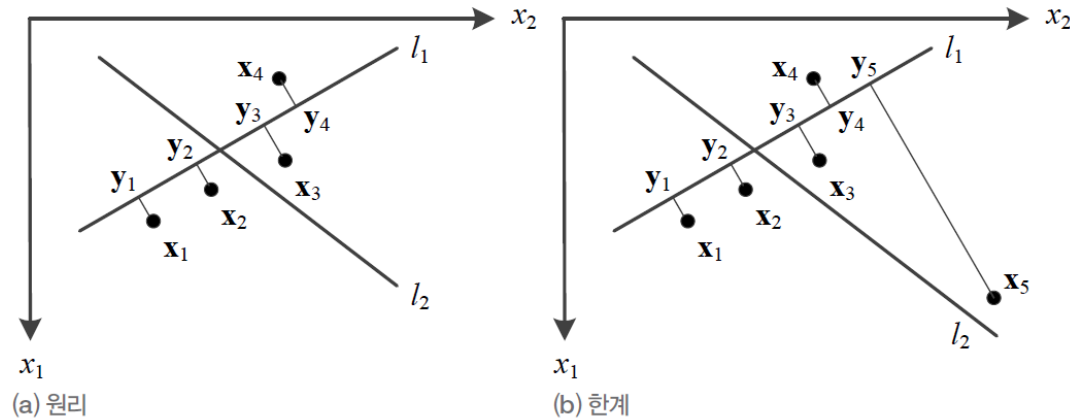


그림 7-12 최소제곱법

- 직선  $l$ 까지의 거리의 합을 오차로 공식화
  - $E(l)$ 을 최소화하는  $l$ 을 찾아라.

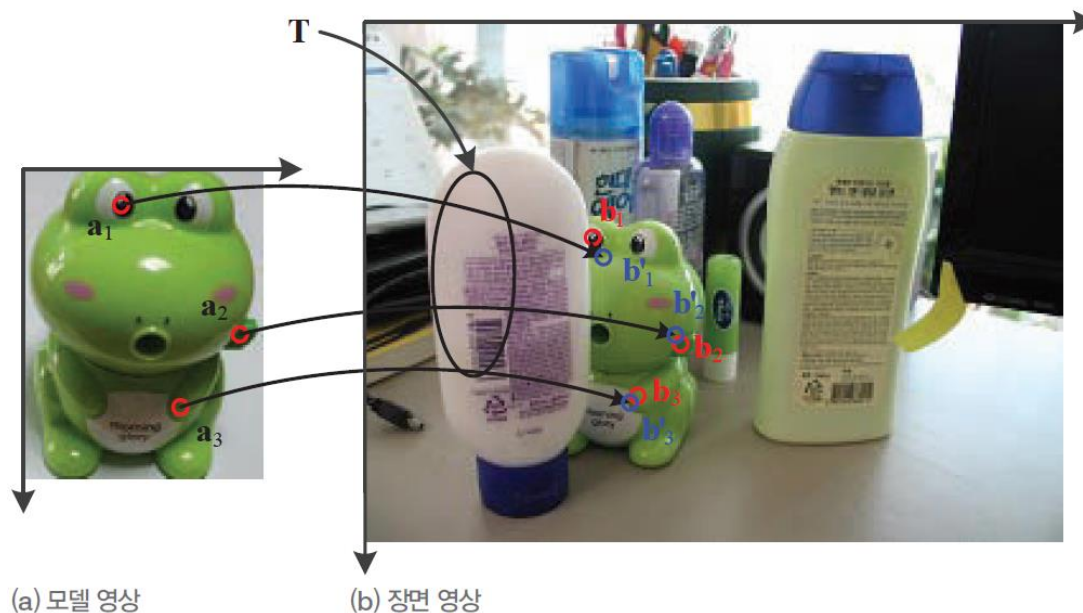
$$E(l) = \sum_{i=1}^n r_i^2 = \sum_{i=1}^n d(\mathbf{x}_i, l)^2 = \sum_{i=1}^n \|\mathbf{x}_i - \mathbf{y}_i\|^2$$

## 7.3.1 최소제곱법과 강인한 추정 기법

### ■ 매칭 문제로 확장

- 입력은 매칭 쌍 집합  $X = \{(a_1, b_1), (a_2, b_2), \dots, (a_n, b_n)\}$

- 모델은? → 변환 행렬 (이동, 크기, 회전 모두 포함) 
$$\mathbf{T} = \begin{pmatrix} t_{11} & t_{12} & 0 \\ t_{21} & t_{22} & 0 \\ t_{31} & t_{32} & 1 \end{pmatrix}$$



빨간색 점 : 실제 매칭점

파란색 점 : 추정된  $T$ 로 예측한 점

그림 7-13 최소제곱법으로 물체의 자세  $T$ 를 알아내는 사례

## 7.3.1 최소제곱법과 강인한 추정 기법

$$\begin{pmatrix} b_{i1}' & b_{i2}' \end{pmatrix} = b_i' \begin{pmatrix} y & x \end{pmatrix}$$

$$\begin{pmatrix} a_{i1} & a_{i2} \end{pmatrix} = a_i \begin{pmatrix} y & x \end{pmatrix}$$

### ■ 오차 함수 $E(\mathbf{T})$

$$\mathbf{b}_i' = \mathbf{a}_i \mathbf{T}, \text{ 풀어쓰면 } \begin{pmatrix} b_{i1}' & b_{i2}' & 1 \end{pmatrix} = \begin{pmatrix} a_{i1} & a_{i2} & 1 \end{pmatrix} \begin{pmatrix} t_{11} & t_{12} & 0 \\ t_{21} & t_{22} & 0 \\ t_{31} & t_{32} & 1 \end{pmatrix} \quad (7.12)$$

$$E(\mathbf{T}) = \sum_{i=1}^n \left\| \mathbf{b}_i - \mathbf{b}_i' \right\|^2 = \sum_{i=1}^n \left( (b_{i1} - (t_{11}a_{i1} + t_{21}a_{i2} + t_{31}))^2 + (b_{i2} - (t_{12}a_{i1} + t_{22}a_{i2} + t_{32}))^2 \right) \quad (7.13)$$

### ■ $E(\mathbf{T})$ 를 최소화하는 $\mathbf{T}$ 는?

- $E$ 를  $t_{ij}$ 로 미분한 도함수  $\frac{\partial E}{\partial t_{ij}} = 0$ 으로 두고 풀어보면,

$\mathbf{T}$ 의 요소들

$$\begin{pmatrix} \sum_{i=1}^n a_{i1}^2 & \sum_{i=1}^n a_{i1}a_{i2} & \sum_{i=1}^n a_{i1} & 0 & 0 & 0 \\ \sum_{i=1}^n a_{i1}a_{i2} & \sum_{i=1}^n a_{i2}^2 & \sum_{i=1}^n a_{i2} & 0 & 0 & 0 \\ \sum_{i=1}^n a_{i1} & \sum_{i=1}^n a_{i2} & \sum_{i=1}^n 1 & 0 & 0 & 0 \\ 0 & 0 & 0 & \sum_{i=1}^n a_{i1}^2 & \sum_{i=1}^n a_{i1}a_{i2} & \sum_{i=1}^n a_{i1} \\ 0 & 0 & 0 & \sum_{i=1}^n a_{i1}a_{i2} & \sum_{i=1}^n a_{i2}^2 & \sum_{i=1}^n a_{i2} \\ 0 & 0 & 0 & \sum_{i=1}^n a_{i1} & \sum_{i=1}^n a_{i2} & \sum_{i=1}^n 1 \end{pmatrix} \begin{pmatrix} t_{11} \\ t_{21} \\ t_{31} \\ t_{12} \\ t_{22} \\ t_{32} \end{pmatrix} = \begin{pmatrix} \sum_{i=1}^n a_{i1}b_{i1} \\ \sum_{i=1}^n a_{i2}b_{i1} \\ \sum_{i=1}^n b_{i1} \\ \sum_{i=1}^n a_{i1}b_{i2} \\ \sum_{i=1}^n a_{i2}b_{i2} \\ \sum_{i=1}^n b_{i2} \end{pmatrix} \quad (7.14)$$

## 7.3.1 최소제곱법과 강인한 추정 기법

■ 최소제곱법은 아웃라이어(outlier) 있으면 오작동

■ 예) 아웃라이어  $\mathbf{x}_5$ 가 포함되면,  $l_2$ 를 선호

→ 이런 경우에는 **강인한 추정** 기법 필요

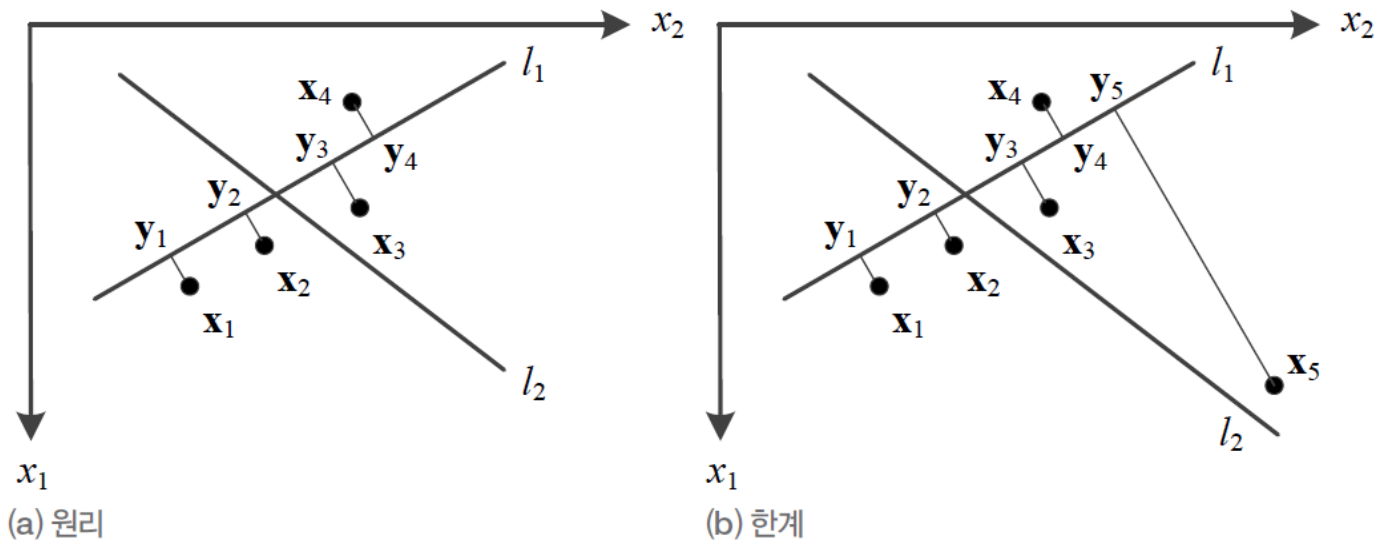


그림 7-12 최소제곱법

## 7.3.1 최소제곱법과 강인한 추정 기법

### ■ 강인한 추정 기법

- 최소제곱법을 최적화 문제로 다시 써보면,

$$\hat{\theta} = \operatorname{argmin}_{\theta} \sum_{i=1}^n r_i^2 \quad (7.15)$$

- 아웃라이어의 영향력을 약화시키는 함수  $\rho(\cdot)$ 를 사용하는 M-추정(M-estimator)

$$\text{M - 추정 : } \hat{\theta} = \operatorname{argmin}_{\theta} \sum_{i=1}^n \rho(r_i) \quad (7.16)$$

$$\rho(r) = \begin{cases} \frac{1}{2}r^2, & |r| \leq c \\ \frac{1}{2}c(2|r| - c), & |r| > c \end{cases} \quad (7.18)$$

- 아웃라이어는 중앙값 계산하는 단계까지만 참여하는 최소제곱중앙값(LMedS, Least-median of Squares)

$$\text{최소제곱중앙값 : } \hat{\theta} = \operatorname{argmin}_{\theta} \operatorname{med}_i r_i^2 \quad (7.17)$$



## 7.3.2 RANSAC(RANdom Sample Consensus)

### ■ 원리

- 직선 검출하는 3장의 그림 3-31과 같은 원리

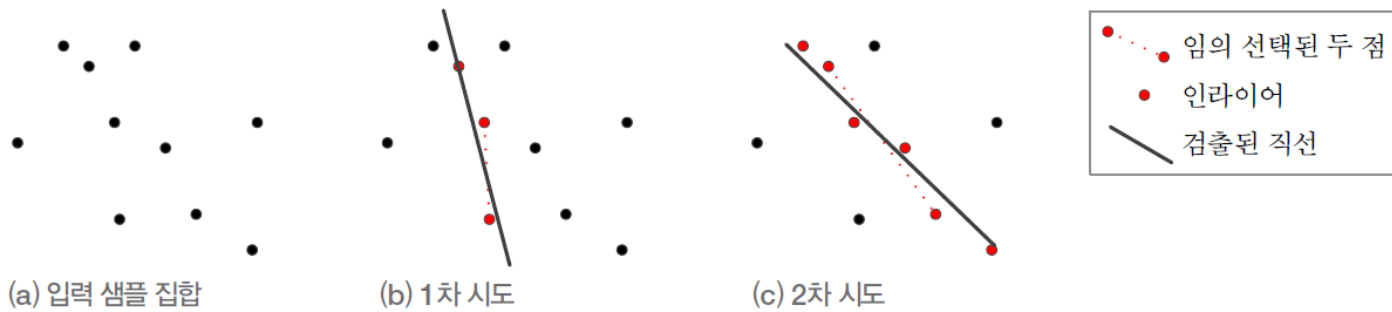


그림 3-31 RANSAC의 원리

### ■ 여기서,

- 매칭 쌍 집합  $X=\{(a_1, b_1), (a_2, b_2), \dots, (a_n, b_n)\}$ 을 처리할 수 있게 확장

## 7.3.2 RANSAC

### 알고리즘 7-9 기하 변환을 추정하기 위한 RANSAC

입력 :  $X = \{(a_i, b_i), i = 1, 2, \dots, n\}$  // 매칭 쌍 집합

반복 횟수  $k$ , 인라이어 판단  $t$ , 인라이어 집합의 크기  $d$ , 적합 오차  $e$

출력 : 기하 변환 행렬  $T$

```
1  Q = ∅;
2  for(j=1 to k) {
3      X에서 세 개 대응점 쌍을 임의로 선택한다.
4      이들 세 쌍을 입력으로 식 (7.14)를 풀어  $T_j$ 를 추정한다.
5      이들 세 쌍으로 집합  $inlier$ 를 초기화한다.
6      for(이 세 쌍을 제외한 X의 요소  $p$  각각에 대해) {
7          if( $p$ 가 허용 오차  $t$  이내로  $T_j$ 에 적합)  $p$ 를  $inlier$ 에 넣는다.
8      }
9      if( $|inlier| \geq d$ ) // 집합  $inlier$ 가  $d$ 개 이상의 샘플을 가지면
10      $inlier$ 에 있는 모든 샘플을 가지고 새로운  $T_j$ 를 계산한다.
11     if( $T_j$ 의 적합 오류  $< e$ )  $T_j$ 를 집합  $Q$ 에 넣는다.
12 }
13 Q에 있는 변환 행렬 중 가장 좋은 것을  $T$ 로 취한다.
```

## 7.3.2 RANSAC

### ■ PROSAC [Chum2005]

- 행 3에서 대응 쌍의 품질에 따라 선택 확률을 결정하여 성능 향상 피함

3 | 매칭 점수가 높을수록 선택 확률이 높은 방식에 따라,  $X$ 에서 세 쌍을 선택한다.

### ■ 반복 횟수 $k$ 를 결정하는 방법

- 옳은 답을 기대할 수 없는 확률을  $p_{thres}$ 보다 낮게 유지하고 싶다면,

$$(1 - q^3)^k < p_{thres}$$

양변에  $\log$ 를 취하면,  $k \log(1 - q^3) < \log(p_{thres})$

$$\text{따라서 } k > \frac{\log(p_{thres})}{\log(1 - q^3)}$$

(7.19)

## 7.4 웹과 모바일 응용

---

### 7.4.1 파노라마 영상 제작

### 7.4.2 사진 관광

## 7.4 웹과 모바일 응용

- 웹과 모바일 환경에서 '인터넷 비전' 연구 분야 태동
  - 방대한 영상 발생 (예, Flickr에 하루에 올라오는 영상은 350만장)
  - 새로운 응용 분야 창출 (예, 파노라마, 사진 관광, 증강 현실 등)
  - 문제를 푸는 새로운 접근 방법 개발 (예, SNS 정보 활용한 얼굴 인식 성능 향상)



그림 7-14 인터넷에 쌓이는 영상

## 7.4.1 파노라마 영상 제작

### ■ 제작 사례



그림 7-15 파노라마 영상

### ■ 스마트폰 앱

- Photosynth
- AutoStitch

## 7.4.1 파노라마 영상 제작

### ■ 제작 과정



그림 7-16 파노라마 제작 과정

## 7.4.1 파노라마 영상 제작

### ■ 알고리즘

- RANSAC은 이웃한 두 영상 사이의 변환을 추정해 줌
- 번들 조정은 영상 집합 전체에 대해 변환 행렬을 미세 조정함
- 이어 붙이기는 다중 밴드 결합 알고리즘 [Burt83b] 사용

#### 알고리즘 7-10 파노라마 영상 제작

입력 : 같은 장면을 찍은 영상 집합  $f_i$ ,  $1 \leq i \leq k$  // 시점이  $i=1, 2, \dots, k$  순서라고 가정

출력 : 파노라마 영상  $p$

```
1   $k$ 개의 모든 영상에서 지역 특징을 추출한다. // 예를 들어 SIFT
2  for( $i=1$  to  $k-1$ ) { //  $i$ 와  $i+1$ 번째 영상을 이어 붙인다.
3      kd 트리 또는 위치의존 해싱을 이용하여  $f_i$ 와  $f_{i+1}$  사이의 대응점을 찾는다.
4      [알고리즘 7-9(RANSAC)]를 이용하여  $f_i$ 와  $f_{i+1}$  사이의 변환 행렬  $T_i$ 를 추정한다.
5  }
6  번들 조정을 수행하여  $T_i$ ,  $i=1, 2, \dots, k-1$ 을 보다 정확한 값으로 조정한다.
7   $T_i$  정보를 이용하여  $k$ 개의 영상을 이어 붙인다.
```



## 7.4.2 사진 관광

### ■ 구조 추정 문제

- 같은 장면을 여러 시점에서 찍은 영상들로부터 3차원 정보 복원
  - 장면에 나타난 물체의 자세 정보 복원
  - 카메라 시점 정보 복원
- 다양한 응용 문제에 적용 가능 → 예) 사진 관광, 증강 현실 등

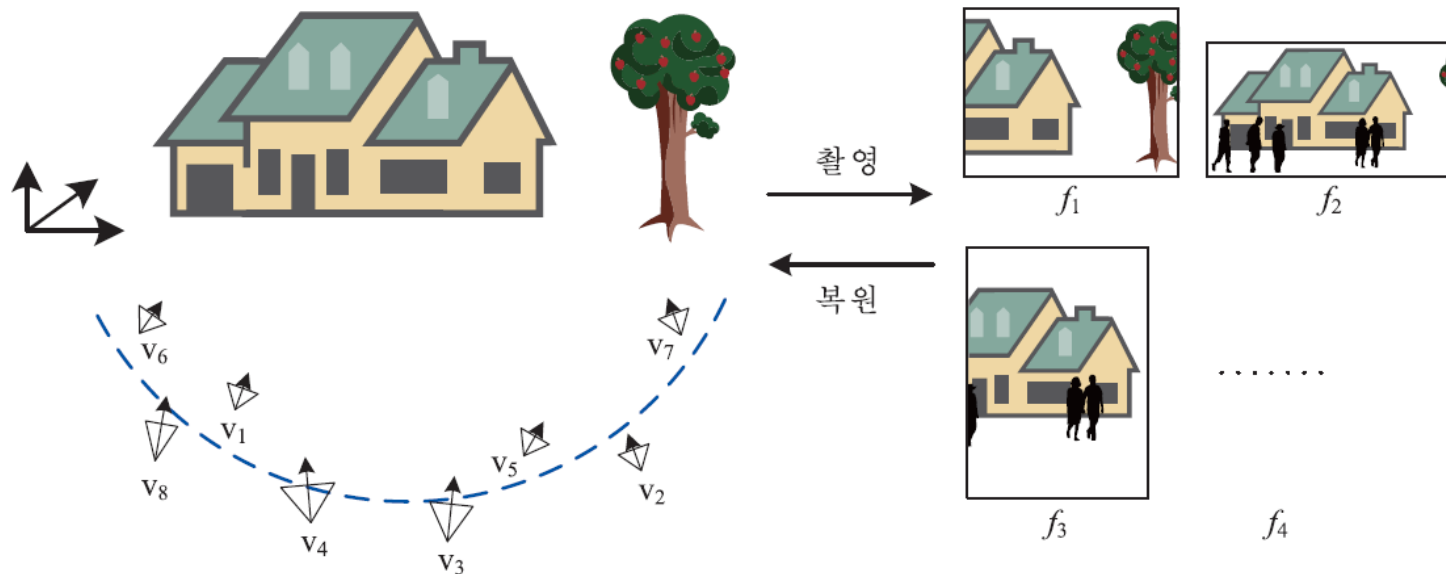


그림 7-17 같은 장소를 여러 시점에서 촬영 - 시점과 3차원 장면을 복원할 수 있을까?

## 7.4.2 사진 관광

### ■ 사진 관광 : 3차원 둘러보기

- 파란 삼각형은 복원된 카메라 시점
- 검은 선은 경로 계획 알고리즘으로 계산한 매끄러운 경로 (빨간 선분은 카메라가 바라보는 방향)

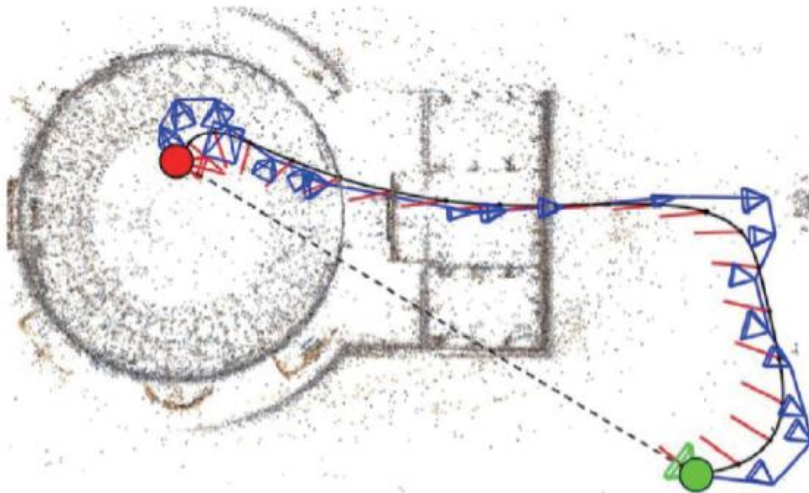


그림 7-18 사진 관광

## 7.4.2 사진 관광

### ■ 사진 관광 : 자동 주석 붙이기

- 모델 영상에 주석을 입력해 두면, 새로운 영상에 대해 주석 위치를 자동 추정하여 보여줌 (일종의 증강 현실)



그림 7-19 자동 주석 붙이기

## 7.4.2 사진 관광

- 사진 관광에 필요한 정보를 추정하는 알고리즘
  - 시점 변화가 크므로,
    - 영상 간의 겹침 관계 알아내는 과정 필요
    - 겹침 정보를 그래프로 표현
  - 그래프의 연결요소를 찾고, 각각에 대해 번들 조정을 수행

## 7.4.2 사진 관광

### 알고리즘 7-11 사진 관광에 필요한 정보 추정

입력 : 같은 장면을 찍은 영상 집합  $f_i$ ,  $1 \leq i \leq k$ , 임계값  $t$ 와  $c$

출력 : 카메라 시점과 3차원 물체

```
1  모든 영상에서 지역 특징을 추출한다. // 예를 들어 SIFT
2  kd 트리 또는 위치의존 해싱을 이용하여 대응점을 찾는다.
3  for( $i=1$  to  $k$ )
4      for( $j=1$  to  $k$ )
5          if( $i \neq j$ 이고  $f_i$ 와  $f_j$  사이에 대응점이  $t$ 개 이상이면) { // 겹침 조사
6              RANSAC을 적용하여 변환 행렬  $T$ 를 구한다.
7               $T$ 의 신뢰도가  $c$  이상이면  $f_i$ 와  $f_j$  사이에 에지를 부여한다.
8          }
9  for(그래프의 연결요소 각각에 대해)
10     번들 조정을 수행하여 카메라 시점과 3차원 점을 구한다.
```